

*ТЕХНИЧЕСКАЯ ФИЗИКА*

Н. А. АВДОНИН, С. С. ВАХРАМЕЕВ, М. Г. МИЛЬВИДСКИЙ, В. Б. ОСВЕНСКИЙ,  
член-корреспондент АН СССР Б. А. САХАРОВ, В. А. СМИРНОВ, Ю. Ф. ЩЕЛКИН

**ВЛИЯНИЕ ПОЛЕЙ ТЕМПЕРАТУР И ТЕРМИЧЕСКИХ НАПРЯЖЕНИЙ  
НА ФОРМИРОВАНИЕ ДИСЛОКАЦИОННОЙ СТРУКТУРЫ  
В МОНОКРИСТАЛЛАХ АРСЕНИДА ГАЛЛИЯ ПРИ ВЫРАЩИВАНИИ  
ПО МЕТОДУ ЧОХРАЛЬСКОГО**

Дислокации в монокристаллах, выращиваемых из расплава, образуются, в основном, под действием термических напряжений, возникающих при охлаждении слитка в процессе его роста. Если эти напряжения превосходят критическое сдвиговое напряжение материала при соответствующей температуре, они вызывают пластическую деформацию, которая частично или полностью снимает термические напряжения. Следовательно, распределение плотности дислокаций в кристалле должно определяться полем термических напряжений в температурной области пластичности материала.

Однако до настоящего времени анализ условий формирования дислокационной структуры монокристаллов, выращиваемых из расплава, сводился по существу к установлению эмпирической связи плотности дислокаций с величиной температурных градиентов в области фронта кристаллизации. При этом определяющая роль приписывалась либо радиальным<sup>(1)</sup>, либо осевым<sup>(2-4)</sup> составляющим температурного градиента. Вопрос об объемном напряженном состоянии в кристалле в этих работах не рассматривался вследствие больших математических трудностей его решения.

В настоящей работе использован новый подход к решению задачи, принципиальная схема которого состоит в том, что с учетом граничных условий, полученных из эксперимента, на ЭВМ производят расчет поля температур, после чего рассчитывают поле термоупругих напряжений. Полученное таким образом объемное распределение сдвиговых термоупругих напряжений сравнивают с соответствующими значениями напряжений текучести для арсенида галлия, определенными из независимых экспериментов. Такой подход позволяет произвести анализ условий образования дислокаций в процессе выращивания кристаллов.

Монокристаллы арсенида галлия выращивались из-под слоя расплавленного борного ангидрида в направлении [111]. Распределение температур в кристалле фиксировали вольфрам-ренийевыми термопарами диаметром 0,2 мм, спаи которых размещали в кварцевых капиллярах, закрепленных на штоке установки<sup>(5,6)</sup>. Термо-э.д.с. термопар фиксировали автоматическим потенциометром со шкалой  $\pm 125$  мВ; основной сигнал термопары компенсировали прецизионным подавителем.

На ЭВМ Минск-22 рассчитывали температурное поле кристалла путем численного решения уравнения нестационарной теплопроводности. За граничные условия принималось экспериментальное распределение температур на боковой и верхней торцевой поверхностях слитков; принималось, что фронт кристаллизации имеет форму параболоида вращения<sup>(7)</sup> и находится при постоянной температуре. По определенному из экспериментов значению удельного теплового потока на фронте кристаллизации со стороны расплава рассчитывались тепловые потоки на поверхности в точке соприкосновения кристалла и расплава, после чего определяли высоту подъема столба расплава и форму фронта кристаллизации<sup>(8,9)</sup>.

Поле напряжений в слитке определяли в рамках несвязной квазистатической теории термоупругости <sup>(10)</sup>. Полагаем кристалл упруго-изотропным цилиндрическим телом с плоской границей фазового перехода, боко-

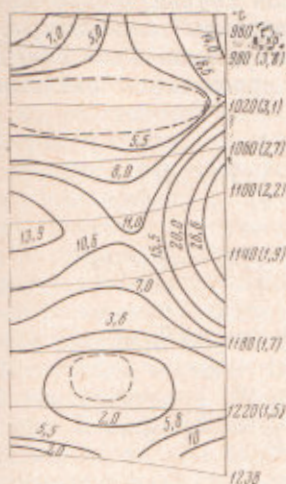


Рис. 1. Изотермы и топография касательных напряжений в монокристалле арсенида галлия. Числа на кривых обозначают величины  $\tau \cdot 10^2$  кг/мм<sup>2</sup>, соответствующие линиям постоянного напряжения. Пунктиром выделены области, в которых действующие напряжения  $\tau_3$  меньше приведенного напряжения текучести. Числа в скобках по оси ординат соответствуют приведенным критическим напряжениям  $\times 10^2$

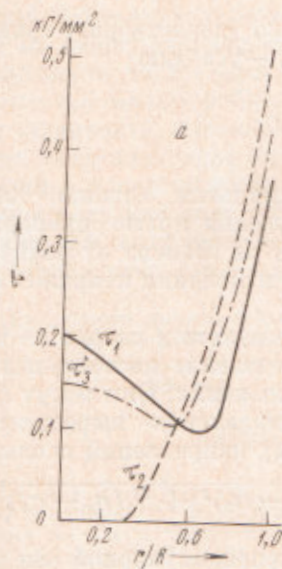
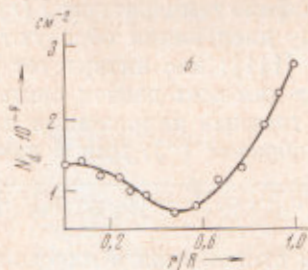


Рис. 2. Распределение касательных напряжений  $\tau_1$ ,  $\tau_2$ ,  $\tau_3$  (а) и плотности дислокаций (б) в поперечном сечении монокристалла арсенида галлия



вая и торцевые поверхности которого находятся в свободном состоянии. Установившаяся температура в слитке считается заданной осесимметричной функцией  $T(r, z)$ . В этом случае уравнения термоупругости в перемещениях имеют вид <sup>(11)</sup>

$$\Delta U - \frac{U}{r^2} + \frac{1}{1-2\mu} \cdot \frac{\partial e}{\partial r} = \frac{2(1+\mu)}{1-2\mu} \alpha \frac{\partial T}{\partial r}, \quad (1)$$

$$\Delta W + \frac{1}{1-2\mu} \frac{\partial e}{\partial z} = \frac{2(1+\mu)}{1-2\mu} \alpha \frac{\partial T}{\partial z},$$

при граничных условиях

$$\sigma_r = \sigma_{rz} = 0 \text{ при } r = R; \quad \sigma_z = \sigma_{rz} = 0 \text{ при } z = 0 \text{ и } z' = l. \quad (2)$$

Здесь  $U$  и  $W$  — радиальное и осевое перемещения соответственно;  $\Delta = \frac{1}{r} \frac{\partial}{\partial r} \left( r \frac{\partial}{\partial r} \right) + \frac{\partial^2}{\partial z^2}$  — оператор Лапласа в цилиндрической системе координат;  $e = \partial V / \partial r + \partial W / \partial z + U / r$  — полное объемное расширение.

Задачу (1), (2) можно легко решить для случая только радиального теплоотода, т. е. пренебрегая осевым изменением температуры. При задании произвольной нормированной температуры  $\bar{T}_r = T(r) / \Delta T$ , где  $\Delta T$  — радиальный перепад температуры, напряжения в слитке радиуса  $R$  имеют следующий вид:

$$\begin{aligned} \sigma_r &= \Delta T \beta \left( \frac{1}{2} \bar{T}_{\text{ср}} - \frac{1}{r^2} \int_0^r r \bar{T}(r) dr \right), \\ \sigma_\theta &= \Delta T \beta \left( \frac{1}{2} \bar{T}_{\text{ср}} + \frac{1}{r^2} \int_0^r r \bar{T}(r) dr - \bar{T}(r) \right), \\ \sigma_z &= \Delta T \beta (\bar{T}_{\text{ср}} - \bar{T}(r)), \quad \sigma_{rz} = 0, \end{aligned} \quad (3)$$

где

$$\beta = 2G \frac{1+\mu}{1-\mu} \alpha, \quad \bar{T}_{\text{ср}} = \frac{2}{R^2} \int_0^R r \bar{T}(r) dr,$$

$G$  — модуль сдвига,  $\alpha$  — коэффициент термического расширения,  $\mu$  — коэффициент Пуассона.

Отметим, что полученное решение точно удовлетворяет граничным условиям на поверхности слитка, а на торцах — условию

$$\int_0^R r \sigma_z(r) dr = 0. \quad (4)$$

Это условие удовлетворяется в любом радиальном сечении слитка  $z = \text{const}$ . Решение показывает, что напряжения прямо пропорциональны радиальному перепаду температуры  $\Delta T$  и не зависят от радиуса слитка. Поэтому достаточно исследовать характер изменения напряжений при том или ином профиле температуры  $T(r)$ .

Поскольку дислокации образуются в результате сдвига по плоскостям скольжения  $\{111\}$ ; нас интересует распределение касательных напряжений в слитке для всех девяти систем скольжения. Они могут быть выражены через главные напряжения для направления вращения  $\langle 111 \rangle$  следующим образом <sup>(12)</sup>. Для 6 наклонных направлений скольжения:

$$\tau_1 = \sqrt{1/36 [(\sigma_z - \sigma_r)^2 + (\sigma_z - \sigma_\theta)^2 + (\sigma_r - \sigma_\theta)^2 + 2/3(\sigma_z - \sigma_\theta)(\sigma_z - \sigma_r)];} \quad (5)$$

для 3 систем скольжения в плоскости, перпендикулярной оси роста:

$$\tau_2 = \sqrt{1/3(\sigma_r - \sigma_\theta)^2}; \quad (6)$$

среднее для всех 9 систем скольжения

$$\tau_3 = \sqrt{2/3\tau_1^2 + 1/3\tau_2^2}. \quad (7)$$

В нашем случае касательные напряжения, вызванные температурным полем  $T(r)$ , могут быть вычислены по формуле

$$\begin{aligned} \tau_i &= A_i \sqrt{(\bar{T}_{\text{ср}} - T(r))^2 - B_i \left( \frac{1}{2} \bar{T}_{\text{ср}} - \frac{1}{r^2} \int_0^r r T(r) dr \right) \times} \\ &\quad \times \left( \frac{1}{2} \bar{T}_{\text{ср}} + \frac{1}{r} \int_0^r r T(r) dr - T(r) \right), \end{aligned} \quad (8)$$

где  $i = 1, 2, 3$ ;  $A_1 = \sqrt[3]{1/16}\beta$ ,  $A_2 = \sqrt[3]{1/8}\beta$ ,  $A_3 = \sqrt[3]{2/27}\beta$ ,  $B_1 = 8/3$ ,  $B_2 = 4$ ,  $B_3 = 10/3$ .

На рис. 1 представлен результат расчета по этой методике касательных термоупругих напряжений в плоскостях скольжения монокристалла арсенида галлия. Температурные поля представлены в виде изотерм. В кристалле наблюдается двукратная смена знака кривизны изотерм по его длине, что свидетельствует об изменении направления радиального потока на расстоянии нескольких миллиметров от фронта кристаллизации. На рис. 1 приведены также линии равных напряжений, характеризующие объемное распределение термоупругих напряжений  $\tau_3$  в слитке в процессе выращивания. Сравнение распределения действующих напряжений с величинами критических сдвиговых дало возможность выделить в объеме растущего кристалла температурные области, в которых действующие касательные напряжения не превышают напряжений текучести. При этом использовалась экстраполяция температурной зависимости предела текучести арсенида галлия (<sup>13</sup>) в область температур, близких к  $T_{вр}$ .

Действующие термические напряжения практически по всей исследованной температурной области превосходят напряжения текучести.

На рис. 2 представлены сравнительные данные по радиальному распределению  $\tau_1$ ,  $\tau_2$ ,  $\tau_3$  и плотности дислокаций в поперечном сечении, характеризующемся максимальными сдвиговыми напряжениями. Наблюдается согласие в распределении касательных напряжений  $\tau_3$  и плотности дислокаций по сечению кристалла.

Хотя на существование корреляции между распределением напряжений и плотности дислокаций указывалось и ранее (<sup>12</sup>, <sup>14</sup>), особенность полученных в настоящей работе результатов заключается в том, что они позволяют установить, в какой температурной области, на каком расстоянии от фронта кристаллизации происходит наиболее интенсивное образование дислокаций в процессе роста. Это позволит определить оптимальное температурное поле для получения монокристаллов с заданной дислокационной структурой, если решить задачу термоупругости в общем виде с учетом как радиального, так и осевого изменения температур.

Государственный научно-исследовательский  
и проектный институт  
редкометаллической промышленности  
Москва

Поступило  
30 IV 1971

#### ЦИТИРОВАННАЯ ЛИТЕРАТУРА

- <sup>1</sup> E. Billig, Proc. Roy. Soc. A, 235, 57 (1956). <sup>2</sup> В. Л. Инденбом, Кристаллография, 2, 594 (1957). <sup>3</sup> В. Л. Инденбом, Там же, 9, 74 (1964). <sup>4</sup> С. В. Цивинский, Физ. мет. и металловед., 25, 4013 (1968). <sup>5</sup> I. C. Vreese, P. A. Whiffin, Solid-State Electronics, 7 (1964). <sup>6</sup> Г. Е. Веревоцкий, В. А. Смирнов, Тр. Московск. инст. инженеров транспорта, в. 189, 133 (1965). <sup>7</sup> W. R. Wilcox, R. Z. Duty, J. Heat Transfer, 88C, 45 (1966). <sup>8</sup> Ю. Ф. Щёлкин, Физика и химия обработки материалов, № 3 (1971). <sup>9</sup> Ю. Ф. Щёлкин, Там же, № 4 (1971). <sup>10</sup> Б. Болди, Дж. Уэйнер, Теория температурных напряжений, М., 1964, стр. 43. <sup>11</sup> Э. Мелан, Г. Паркус, Термоупругие напряжения, вызываемые стационарными температурными полями, М., 1958. <sup>12</sup> В. Л. Инденбом, В. И. Никитенко, Напряжения и дислокации в полупроводниках, М., 1962, стр. 8, 34. <sup>13</sup> М. Г. Мильвидский, В. В. Освенский, О. Г. Столяров, Неорганические материалы, 1, 1898 (1965). <sup>14</sup> P. Penning, Phil. Res. Reports, 13, 79 (1958).